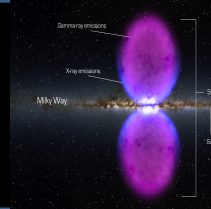




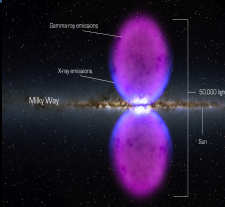
Atelier Transient Sky 2020

LAL-Orsay 21/06/2017



« Neutrinos »

Bruny Baret
Astroparticule & Cosmologie, Paris

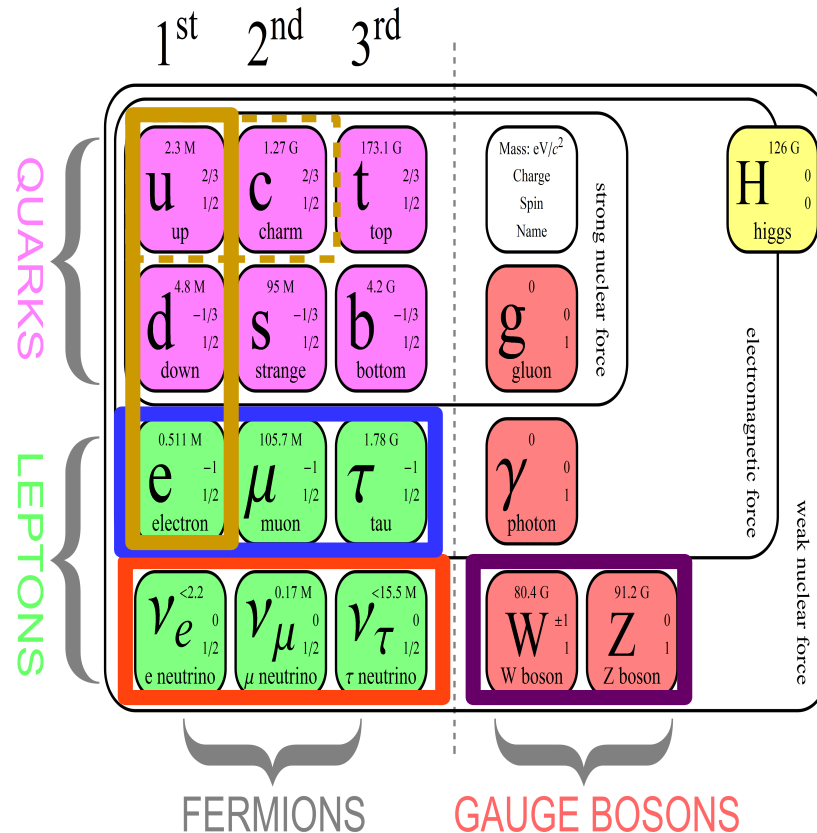


Les neutrinos

sources & détection

Ce qu'on voit

Messagers



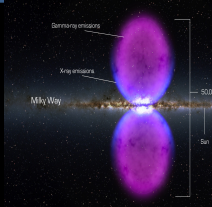
Voyagent :
sans absorption
en ligne droite

mais flux en $1/D^2$

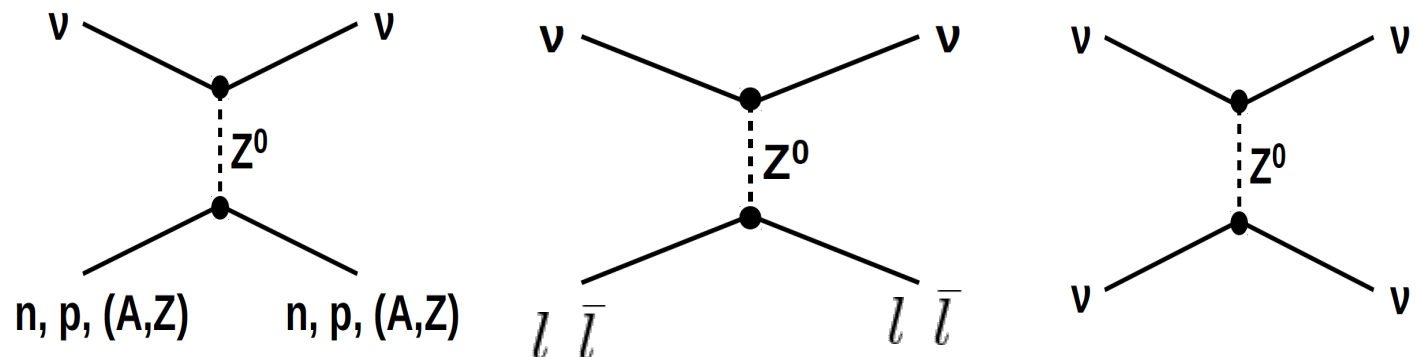
Interaction



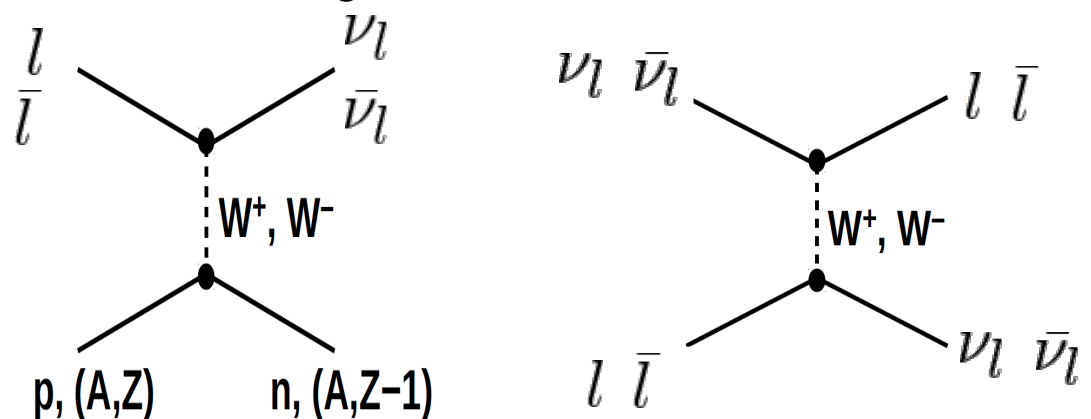
Interactions



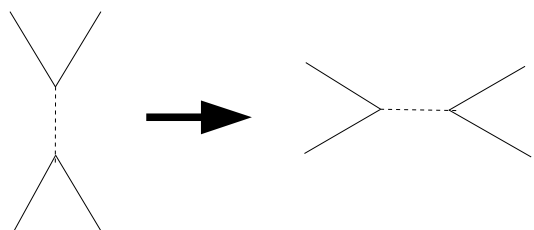
Courant neutre

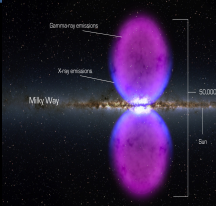


Courant Chargé



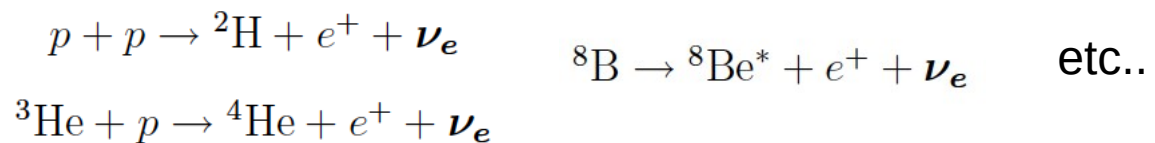
Et tous les symétriques s-t :



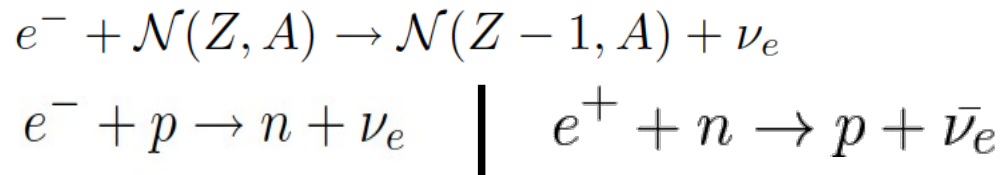


Canaux de production

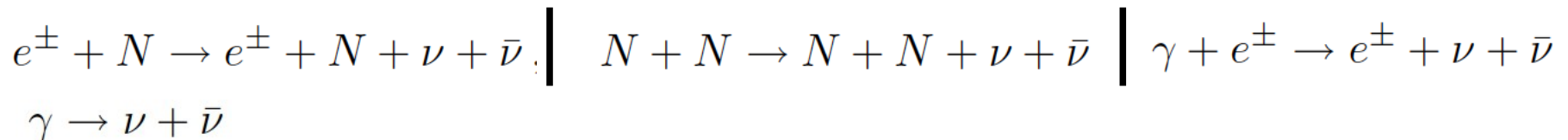
Desintegration beta (Soleil)



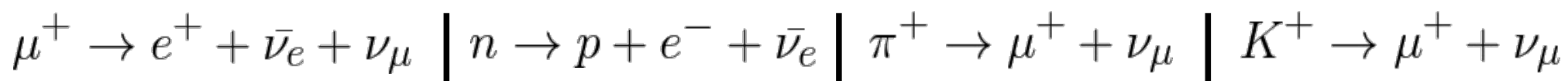
Capture electronique (Supernovae et Soleil)

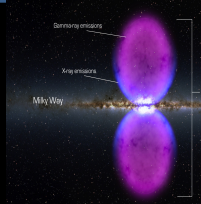


Création de paires (Supernovae):



Désintégration de muons et hadrons chargés (chocs astrophysiques)





3 saveurs + masse \rightarrow Oscillations

« Simplification » à 2 saveurs :

$$P_{\overrightarrow{\nu}_\alpha \rightarrow \overrightarrow{\nu}_\beta} = \delta_{\alpha\beta} - 4 \sum_{k>j} \operatorname{Re}(J_{\alpha\beta jk}) \sin^2 \left(\frac{\Delta m_{kj}^2 L}{4E} \right) \pm 2 \sum_{k>j} \operatorname{Im}(J_{\alpha\beta jk}) \sin \left(\frac{\Delta m_{kj}^2 L}{2E} \right)$$

$$L_{osc.}[km] \sim \frac{E}{\Delta m^2} [GeV eV^{-2}] \quad \Delta m^2 \sim 10^{-3} - 10^{-4}$$

Basse énergie (~10MeV): ~100 km

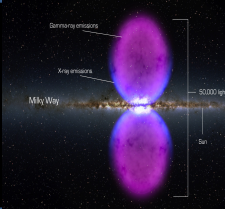


Oscillations dans la source
Effets de matière (MSW)
important et pas simple

Haute énergie (TeV-PeV) $\times 10^6 <<$ Distance source



équipartition de saveur simple

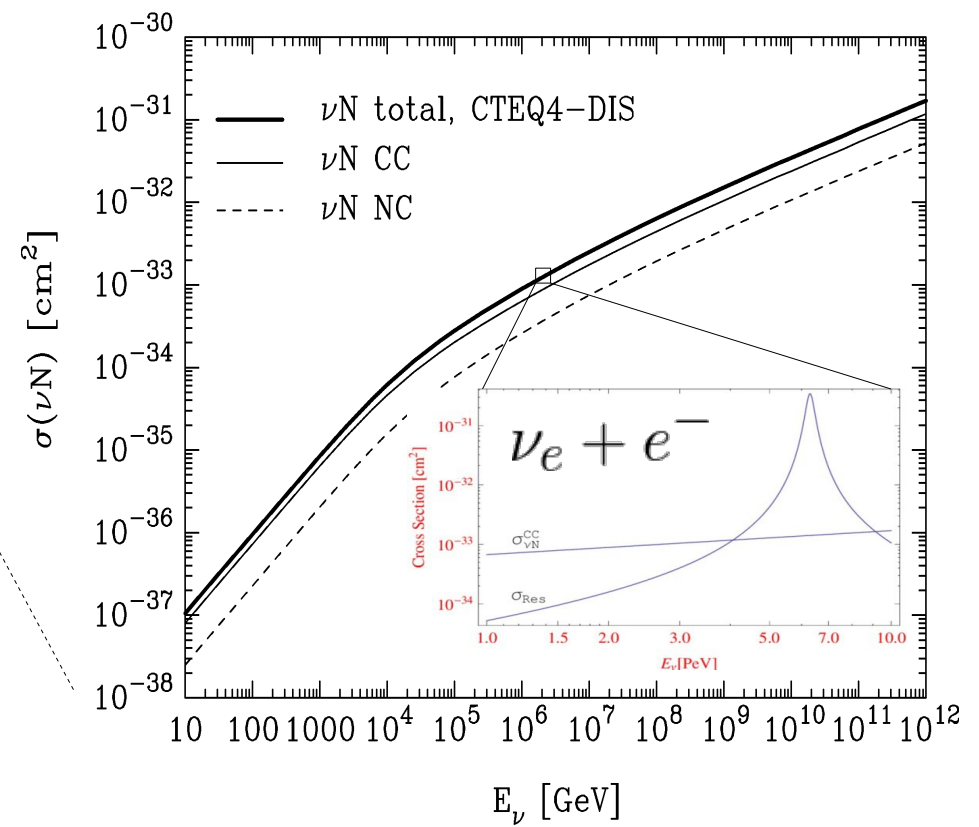
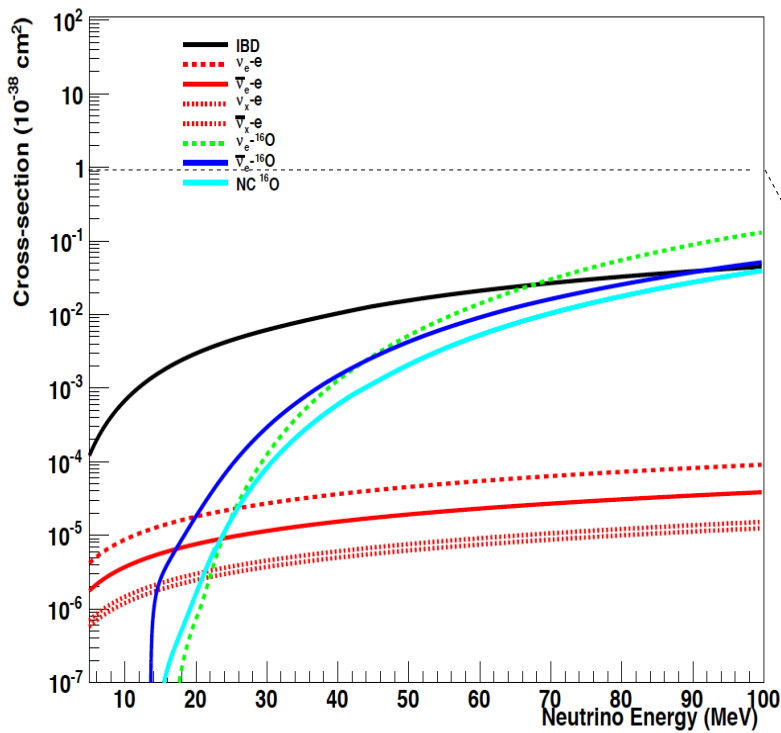


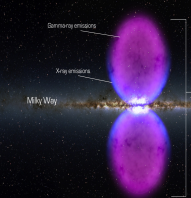
Sections efficaces → détection

$$\sigma \propto E^2$$

$$\sigma \propto E$$

$$\sigma \propto E^{0.4}$$

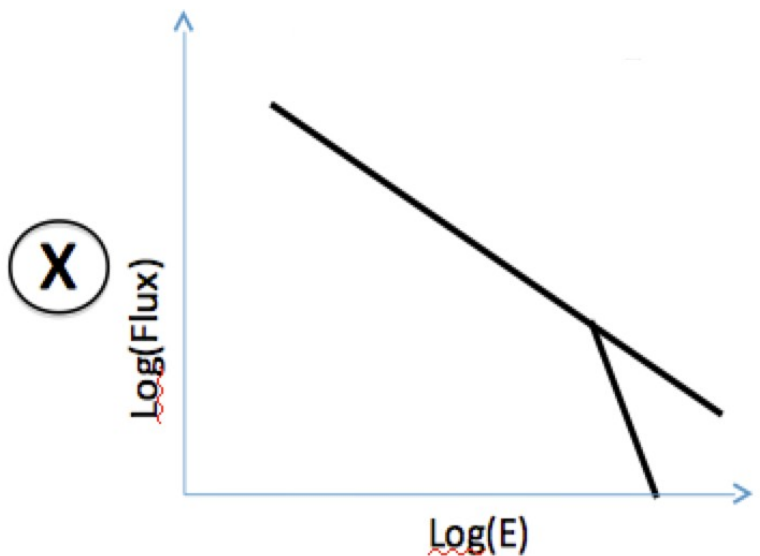
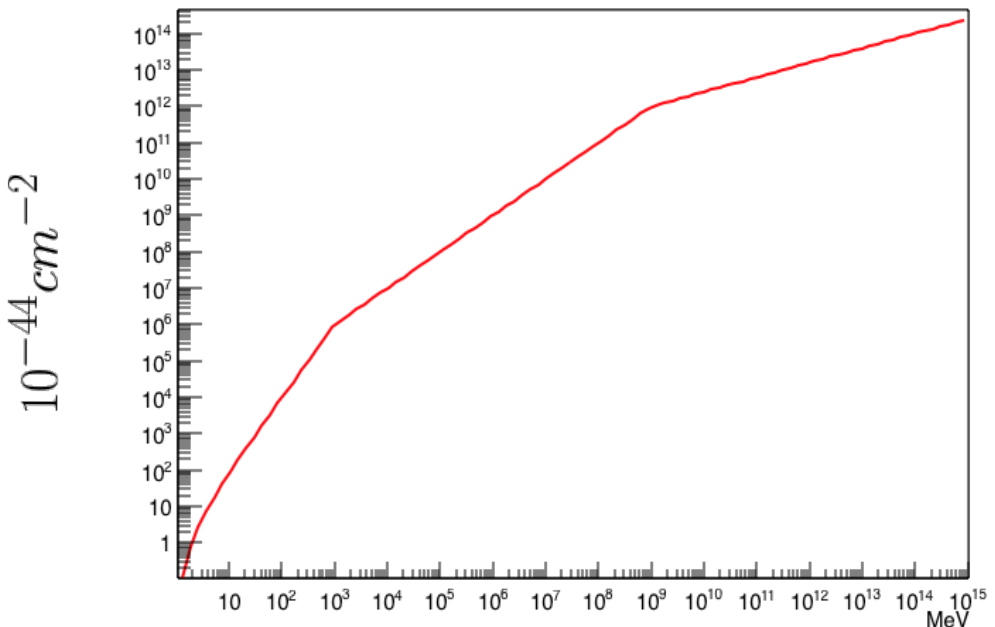




Sections efficaces → détection

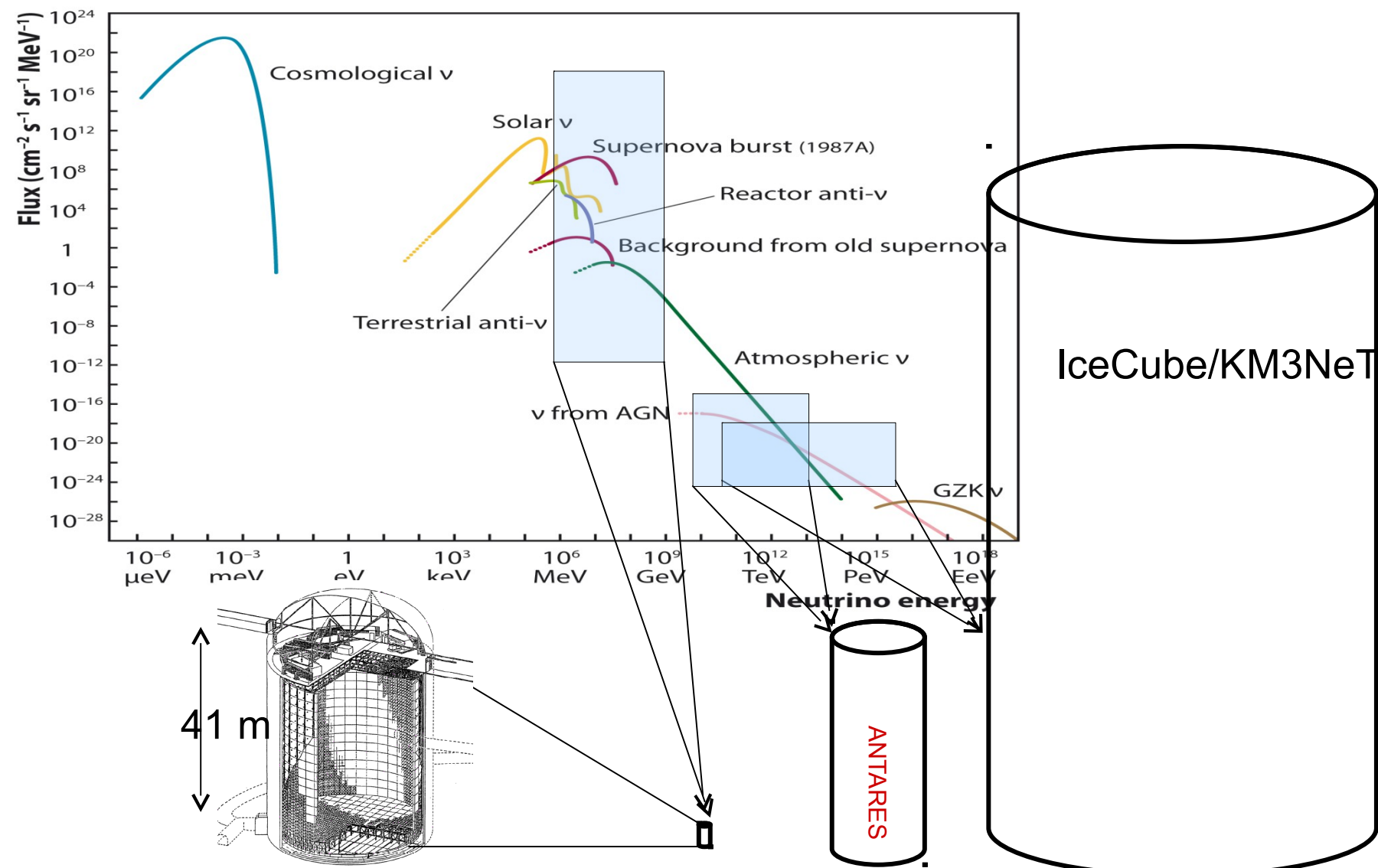
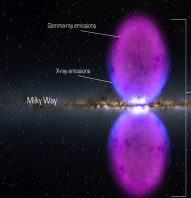
$$E^\alpha$$

$$E^{-\gamma}$$



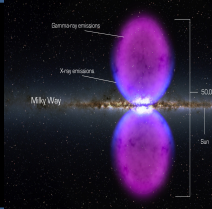
$\alpha < 1$ & $\gamma \gtrsim 1.5 - 2 \Rightarrow$ La taille des détecteurs croît presque linéairement avec E

de très gros détecteurs





Detection – qq détails



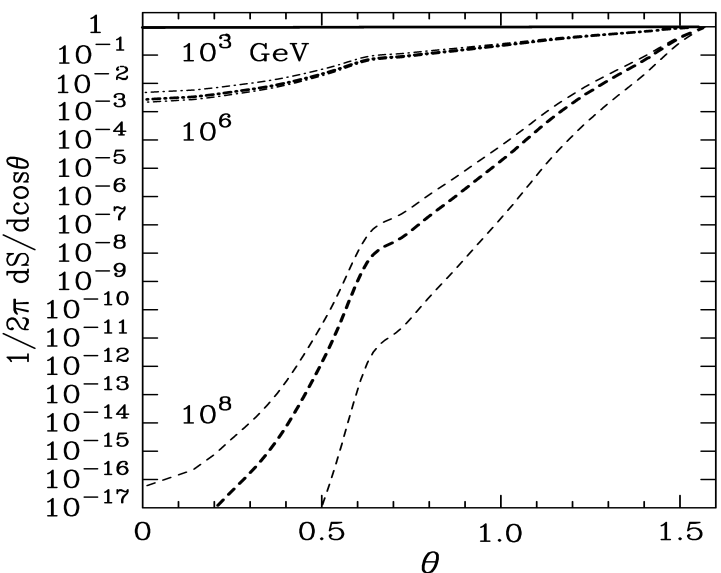
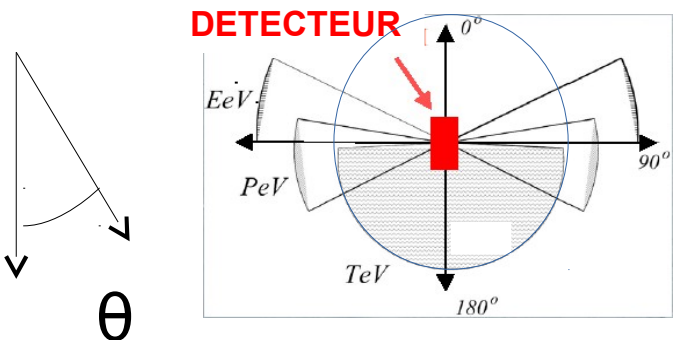
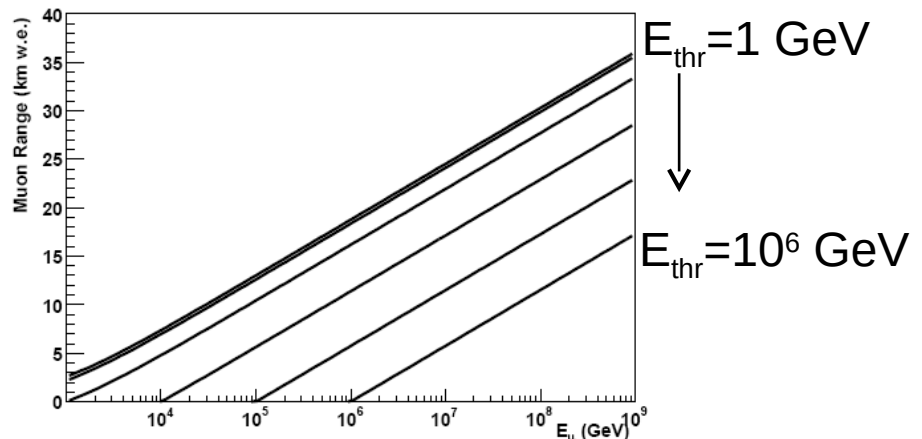
Pertes d'énergie du muon:

$$dE_\mu/dx = \alpha(E_\mu) + \beta(E_\mu) \cdot E_\mu$$



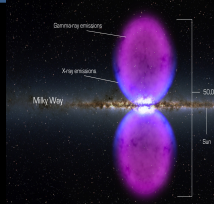
« Portée » du muon:

$$R_\mu(E_\mu, E_{thr}) = \int_{E_{thr}}^{E_\mu} \frac{1}{dE_\mu/dx} dE \approx \frac{1}{\beta} \ln \frac{(\alpha/\beta) + E_\mu}{(\alpha/\beta) + E_{thr}}$$



Traces de muons

Volume effectif >> Volume instrumenté



Spectre neutrino astrophysiques

Galactique

Extra galactique

Source astrophysique

Soleil

Supernova (exp.

acc.)

Binaires

AGN/GRB

UHECR diff



Energie

0.1-10 MeV

Tev-PeV

>PeV

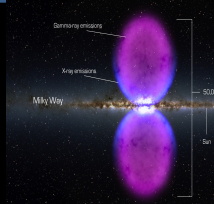
Processus de production

desint. beta

capture elec.

Interactions hadroniques

(top-down ?)



Spectre neutrino astrophysiques

Galactique

Extra galactique

Source astrophysique

Soleil

Supernova (exp.

acc.)

Binaires

AGN/GRB

UHECR diff

Energie
0.1-10 MeV

Tev-PeV

>PeV

Processus de production

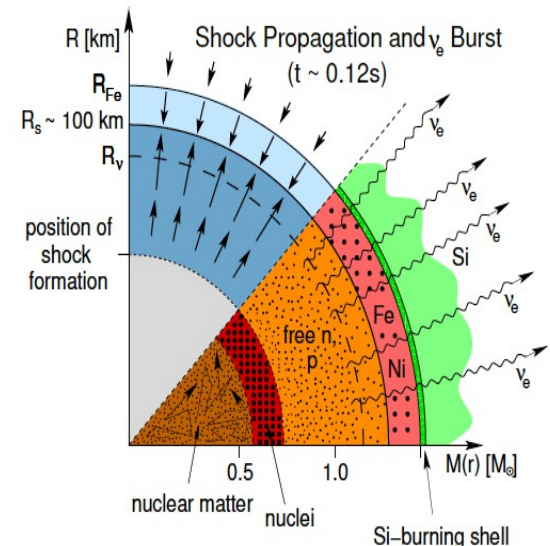
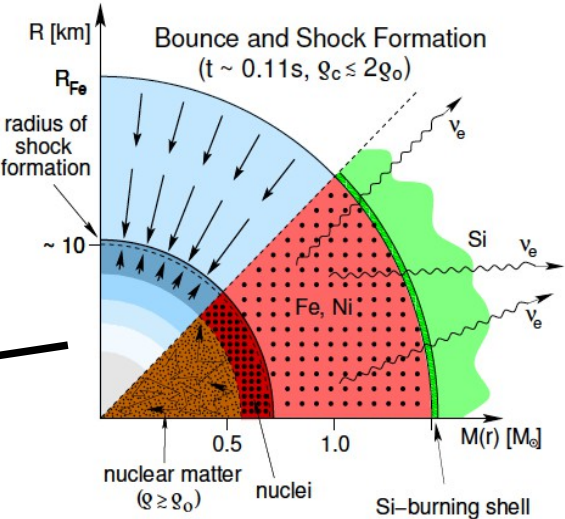
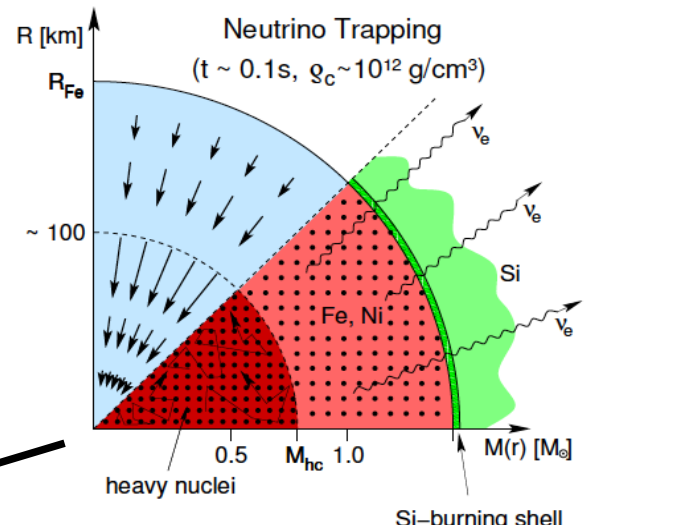
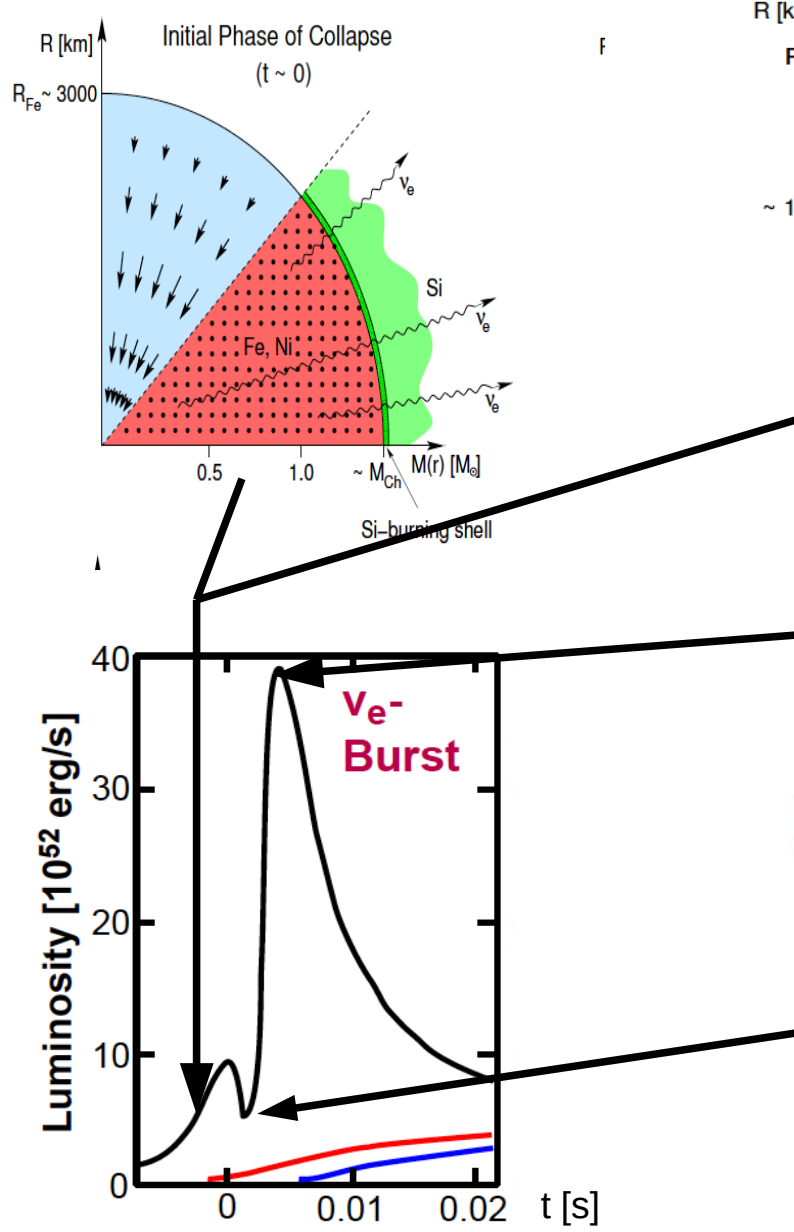
desint. beta

capture elec.

Interactions hadroniques

(top-down ?)

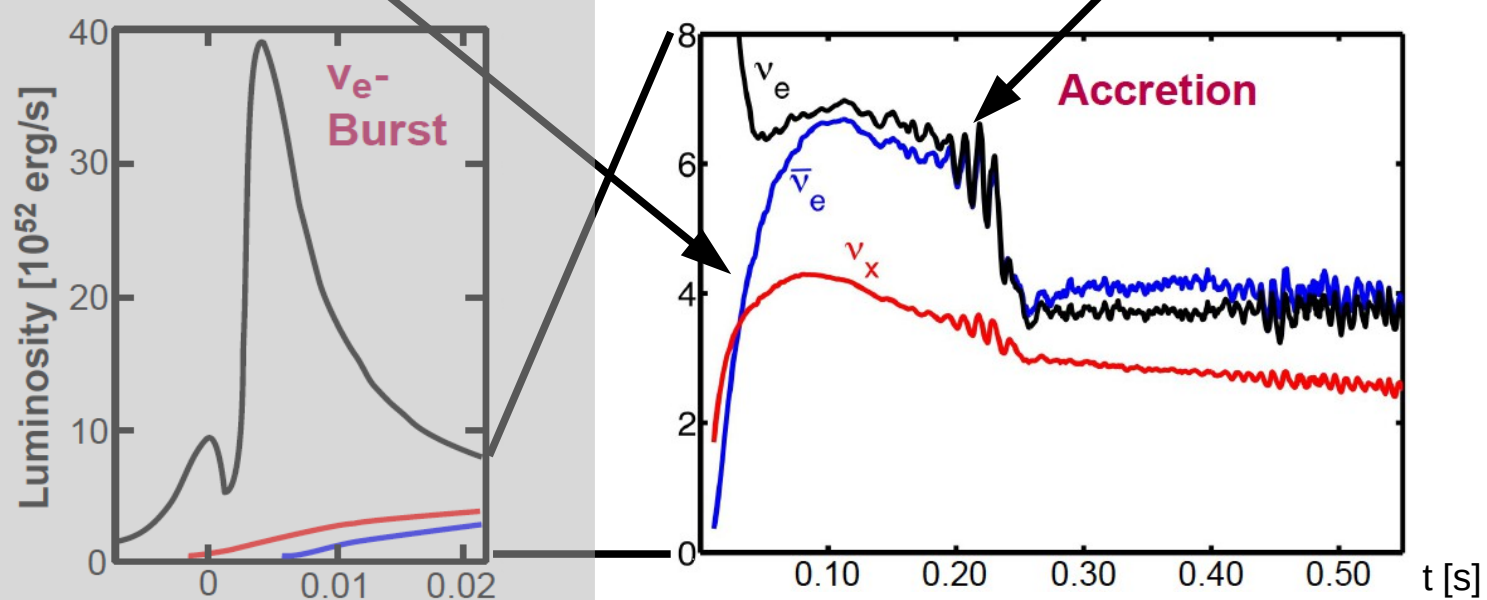
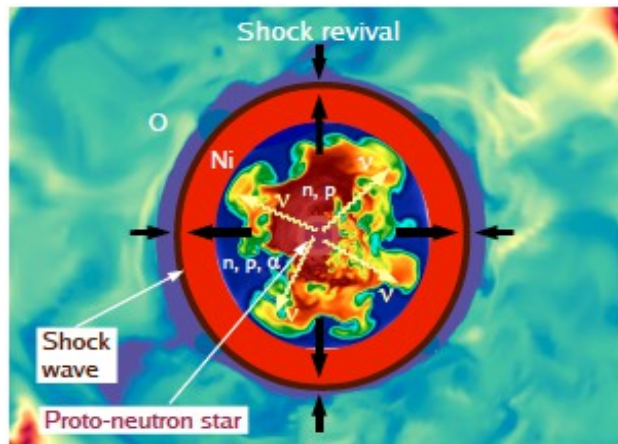
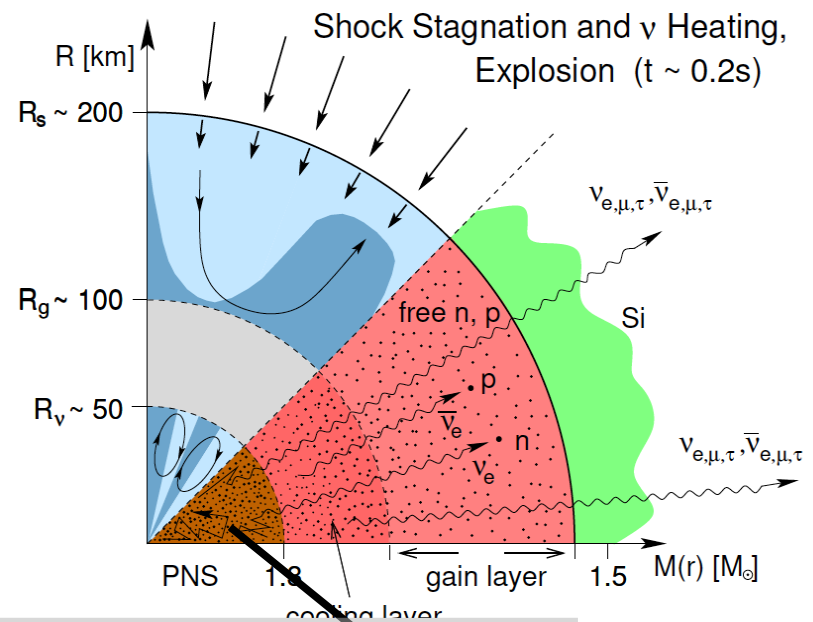
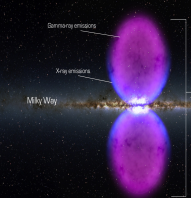
Supernovae - Phase I



H. Janka



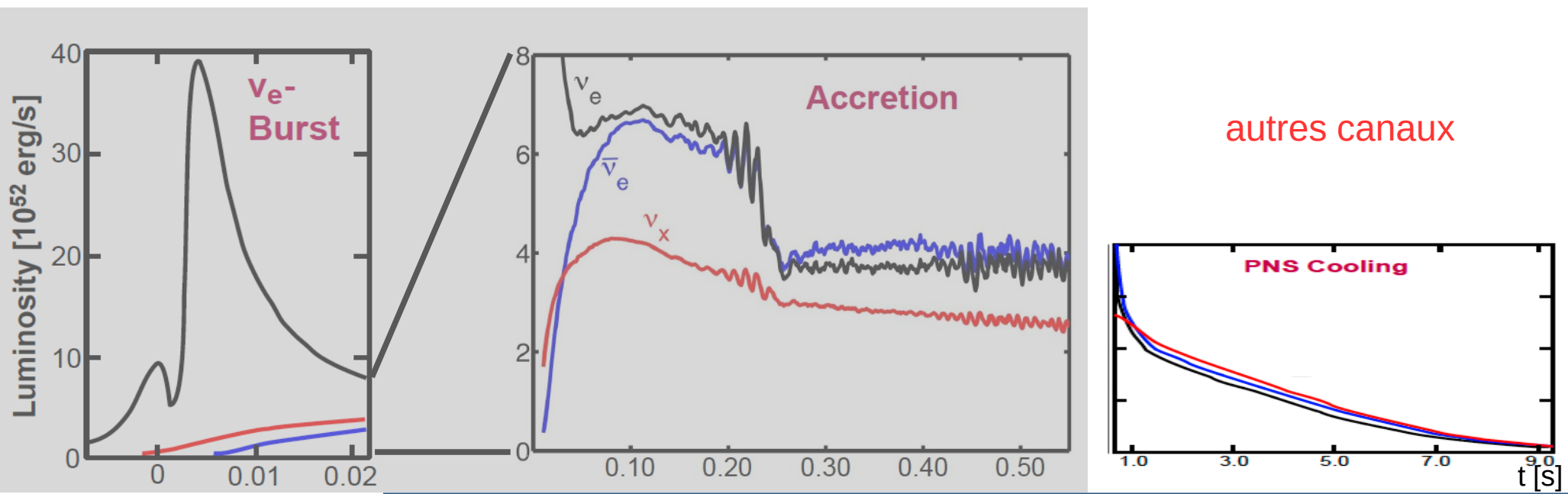
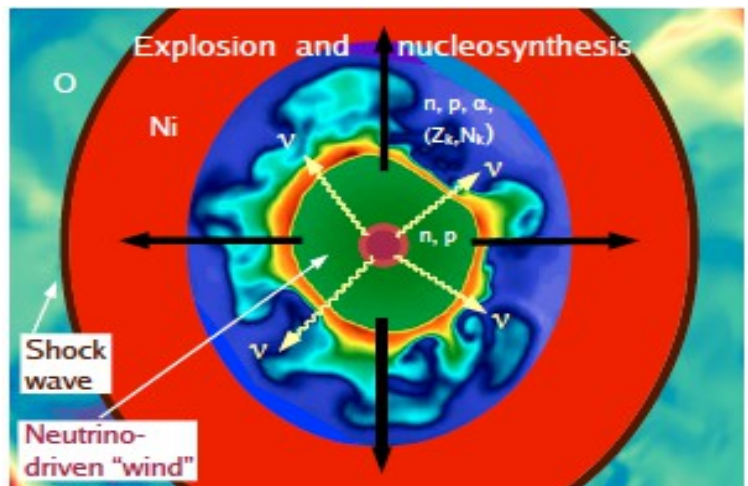
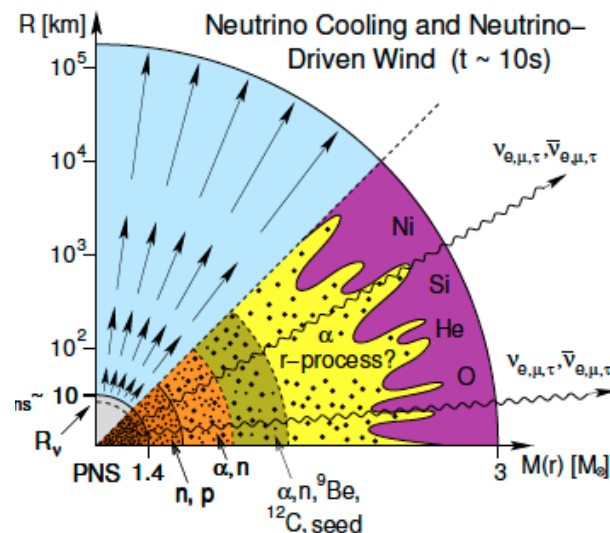
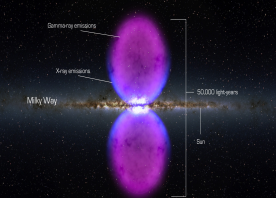
Supernovae – Phase II



H. Janka

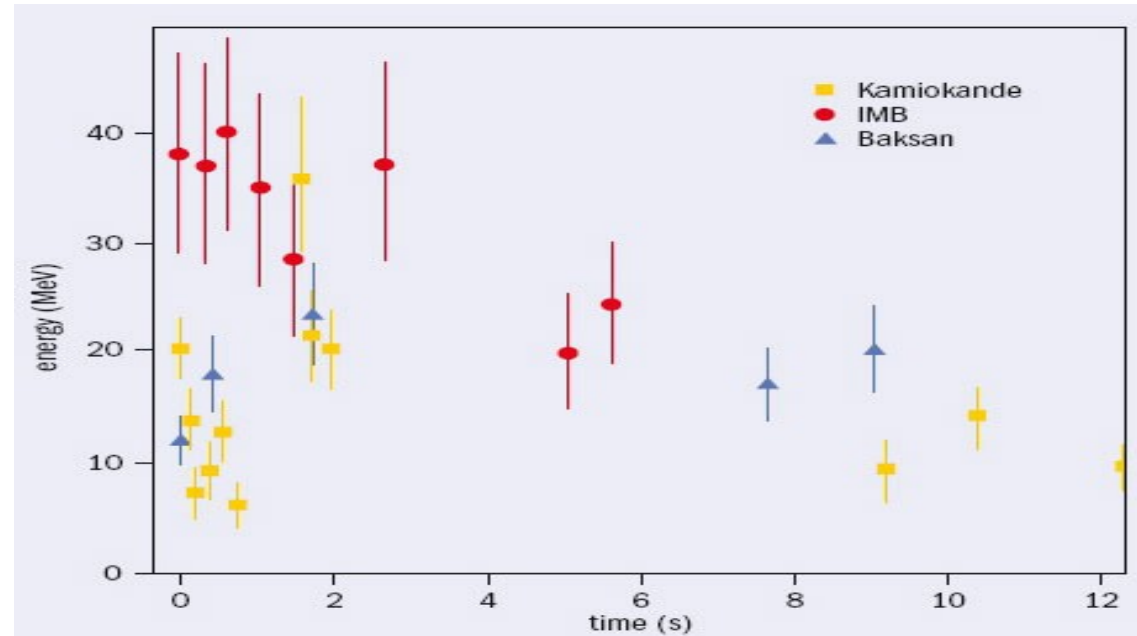
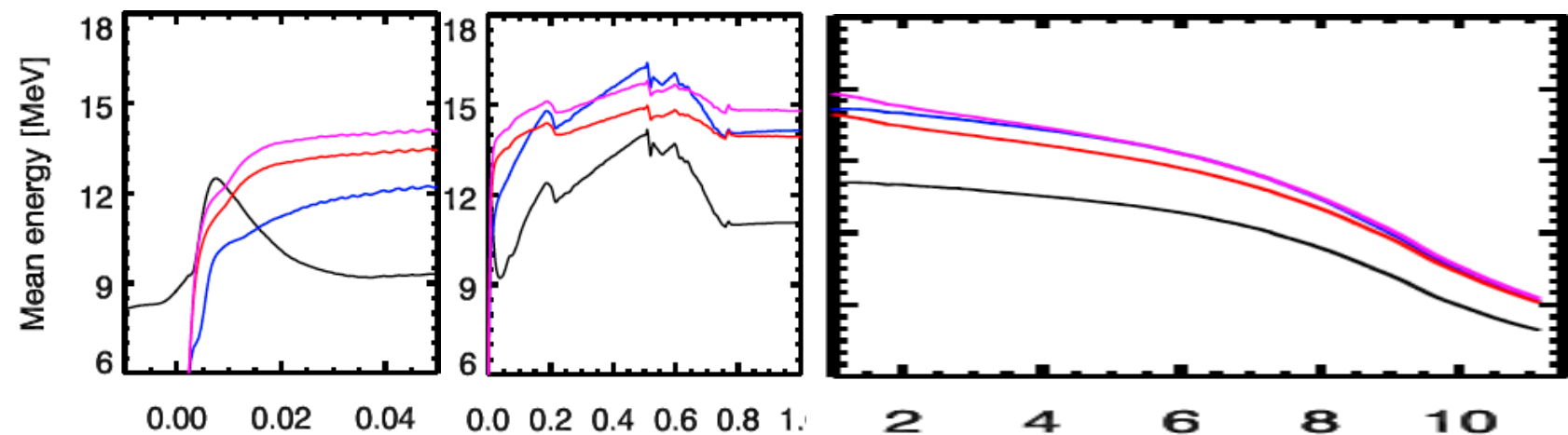
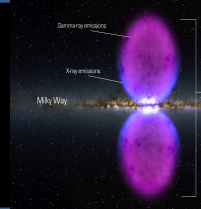


Supernovae – Phase III

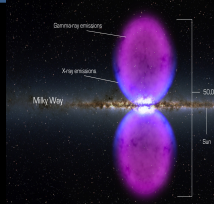




1987 A



NB : synchronisation
a posteriori



Spectre neutrino astrophysiques

Galactique

Extra galactique

Source astrophysique

Soleil

Supernova (exp.

acc.)

Binaires

AGN/GRB

UHECR diff

Energie
0.1-10 MeV

Tev-PeV

>PeV

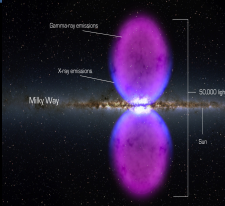
Processus de production

desint. beta

capture elec.

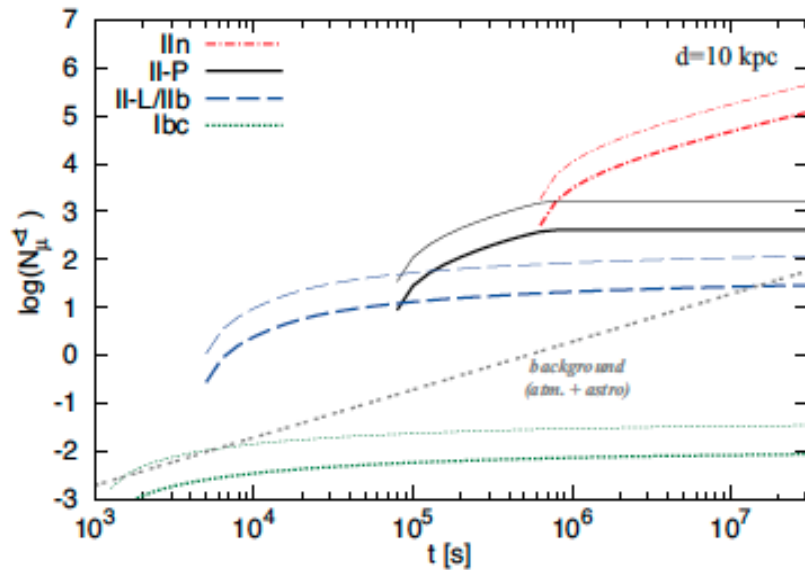
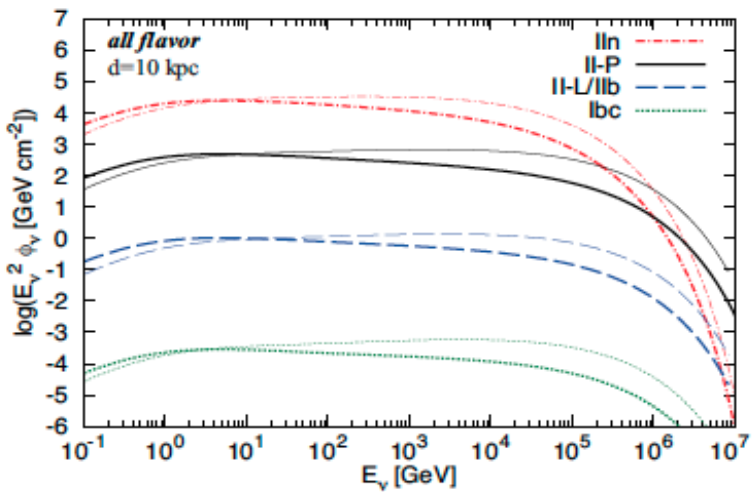
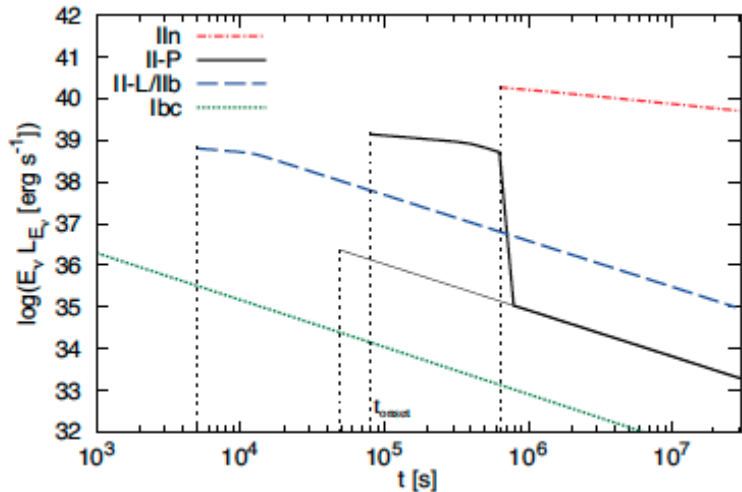
Interactions hadroniques

(top-down ?)

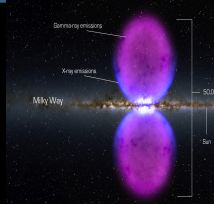


Supernovae – Hautes énergies

Murase 2017 : SN Type II à 10kpc, interaction pp (CR+ CSM)



evt pour :
IceCube/KM3NeT



Spectre neutrino astrophysiques

Galactique

Extra galactique

Source astrophysique

+ Gal CR diff.

Soleil

Supernova (exp.

acc.)

Binaires

AGN/GRB

UHECR diff

Energie
0.1-10 MeV

Tev-PeV

>PeV

Processus de production

desint. beta

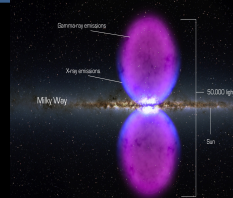
capture elec.

Interactions hadroniques

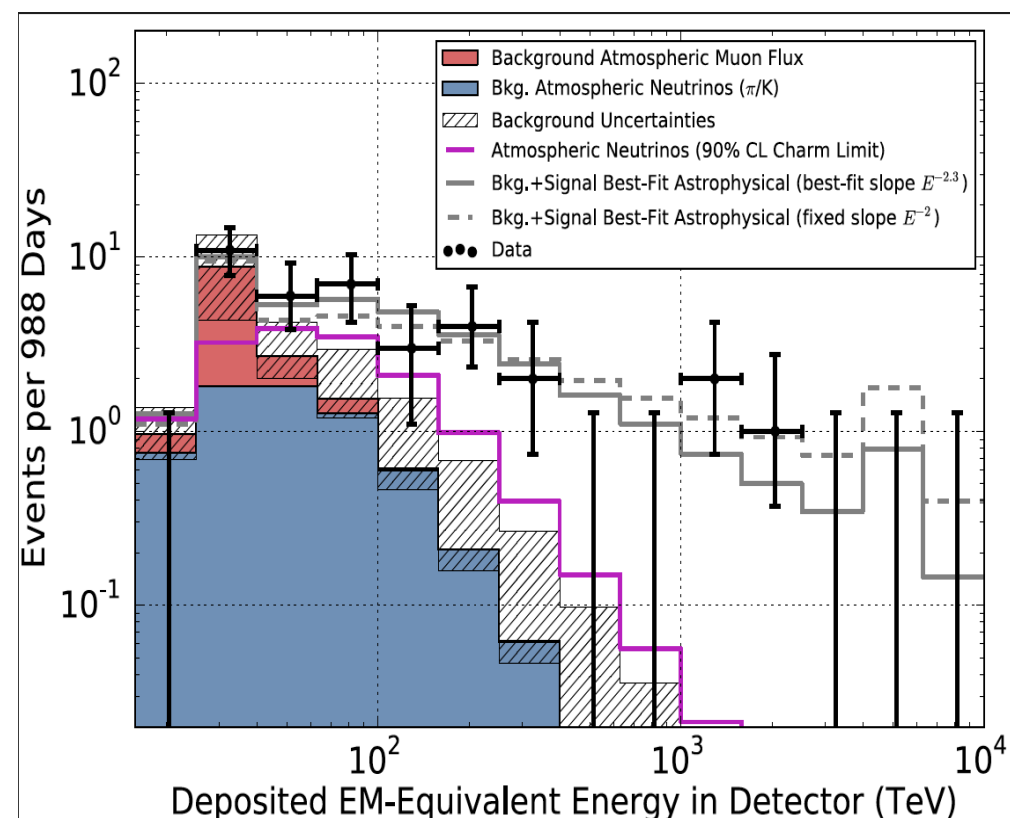
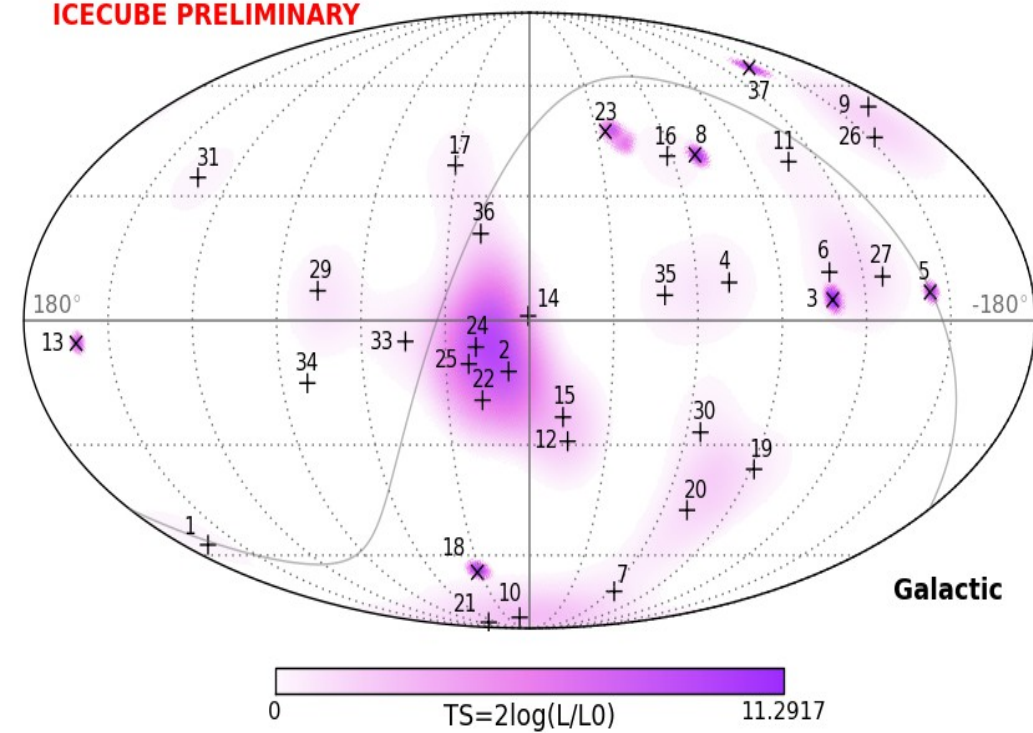
(+top-down ?)



Le ciel neutrino haute énergie aujourd'hui



ICECUBE PRELIMINARY



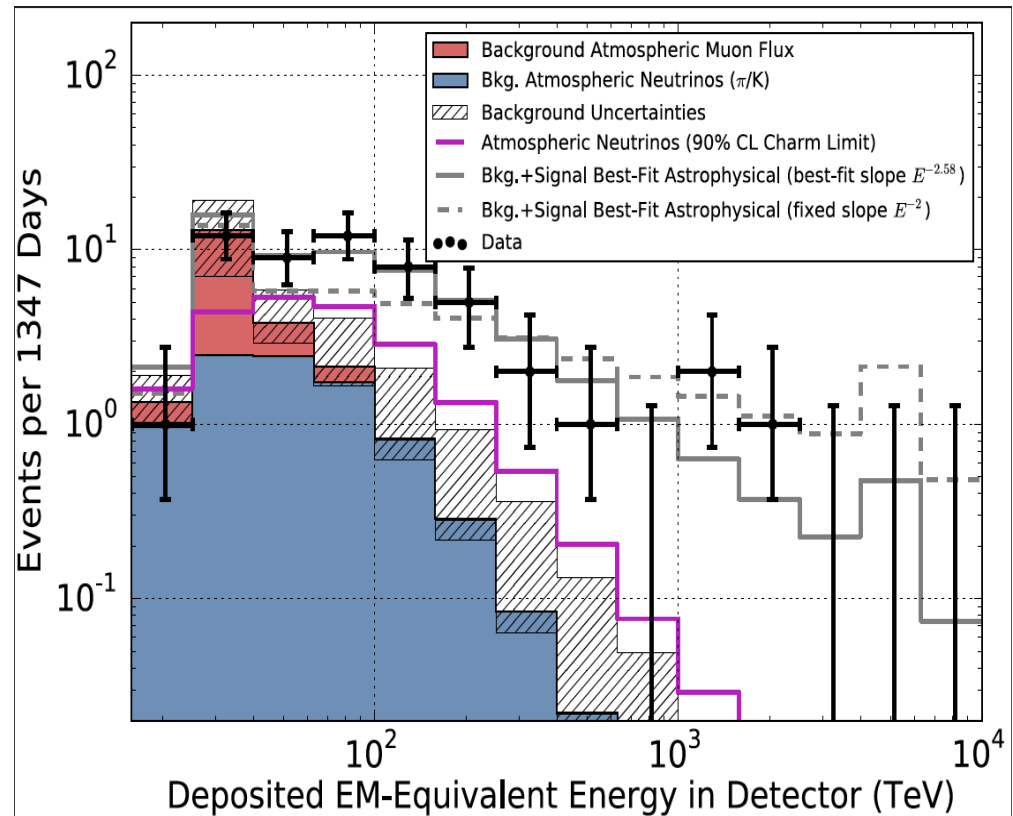
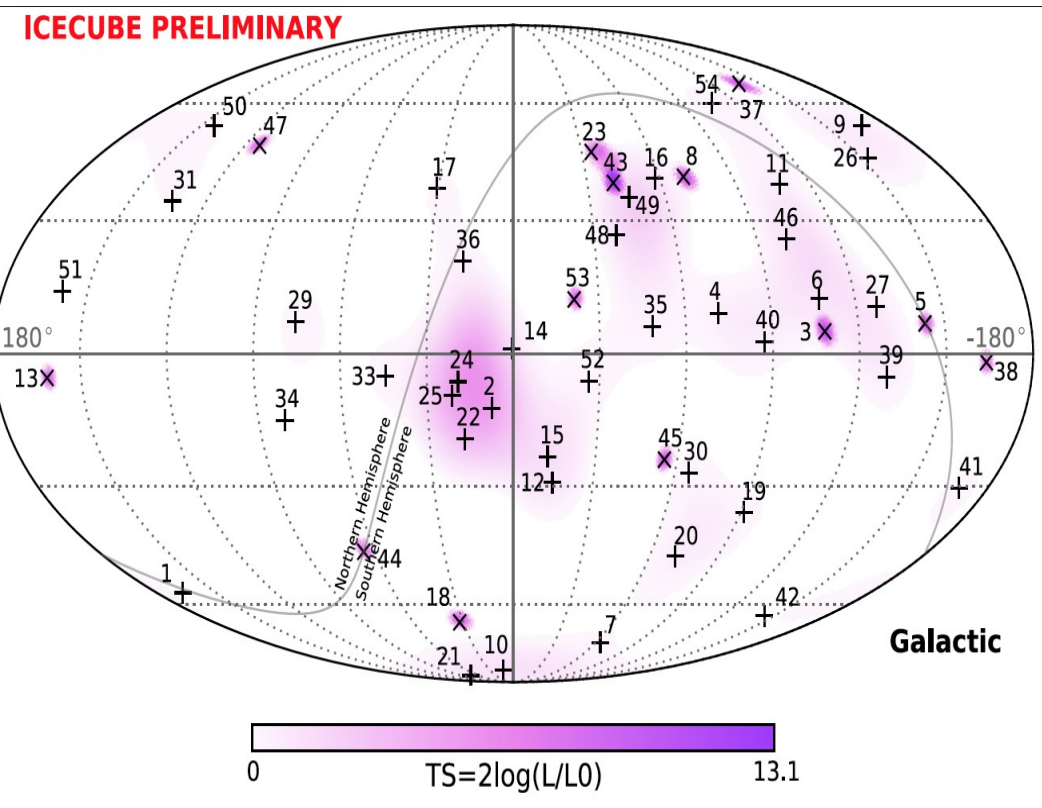
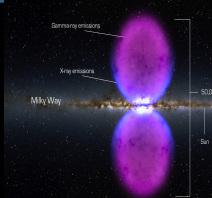
ICECUBE, *PRL* 111, 021103 (2013)

ICECUBE, *Science* 342, 1242856 (2013)

ICECUBE, *PRL* 113, 101101 (2014)



Le ciel neutrino aujourd'hui



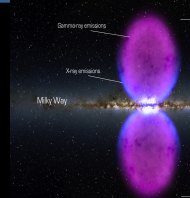
ICECUBE, *PRL* 111, 021103 (2013)

ICECUBE, *Science* 342, 1242856 (2013)

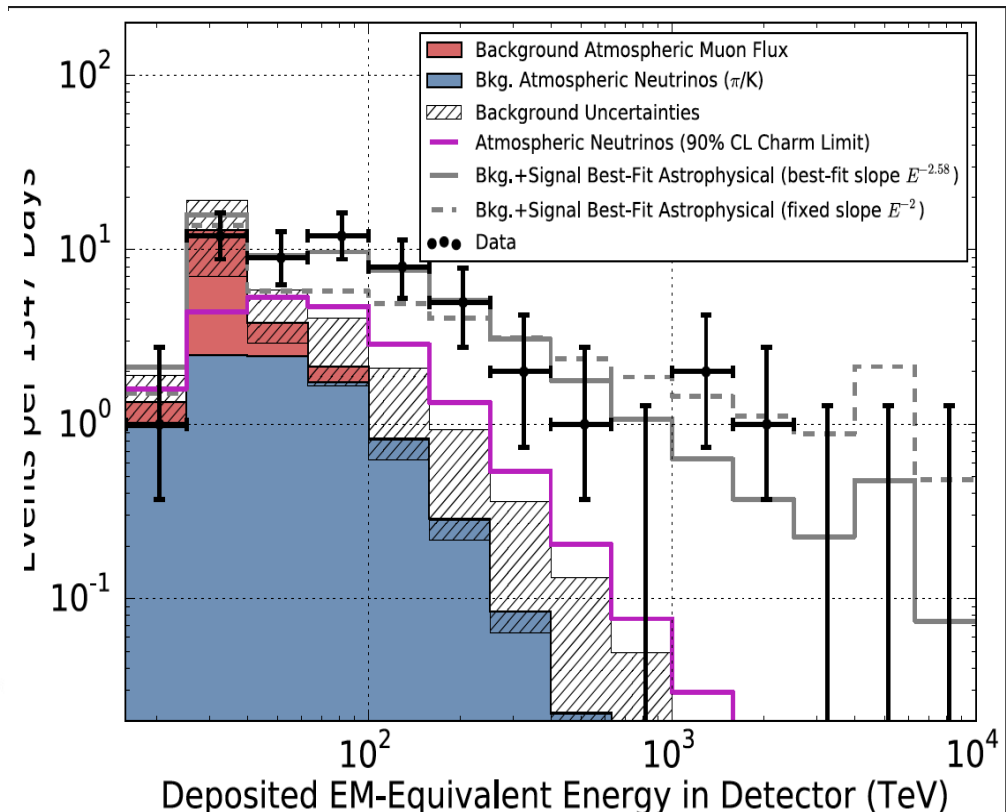
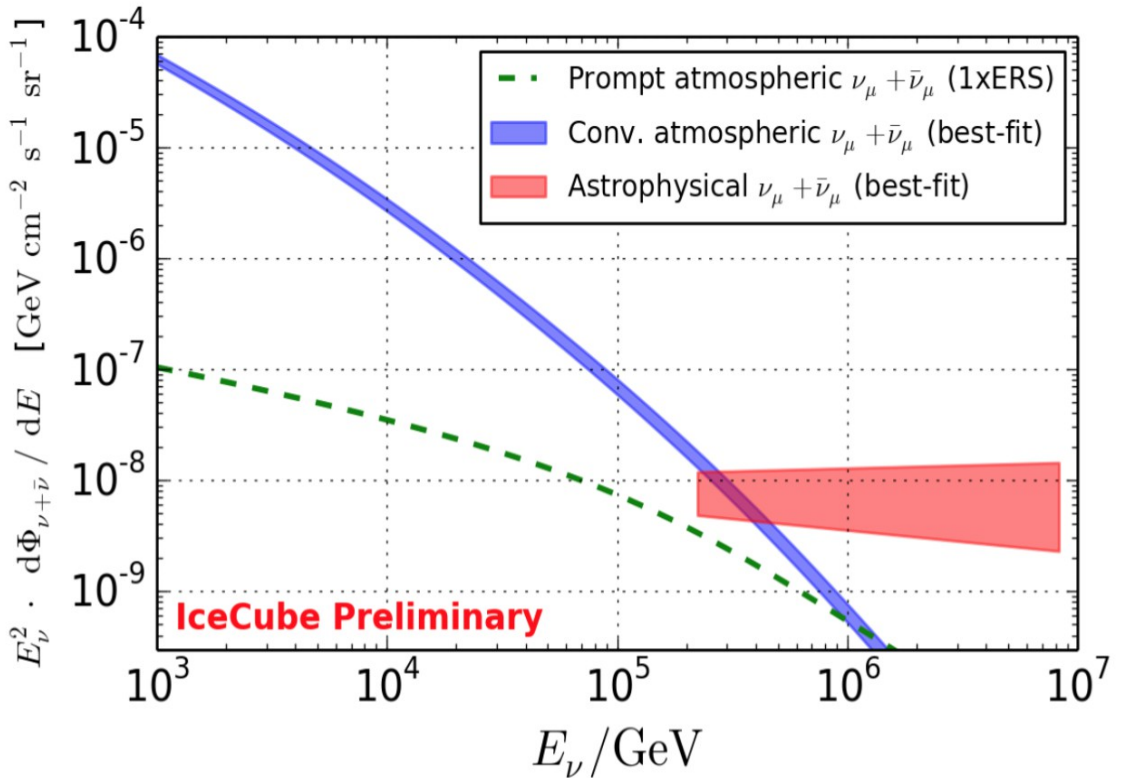
ICECUBE, *PRL* 113, 101101 (2014)



Le ciel neutrino aujourd'hui



diffus hemisphere nord



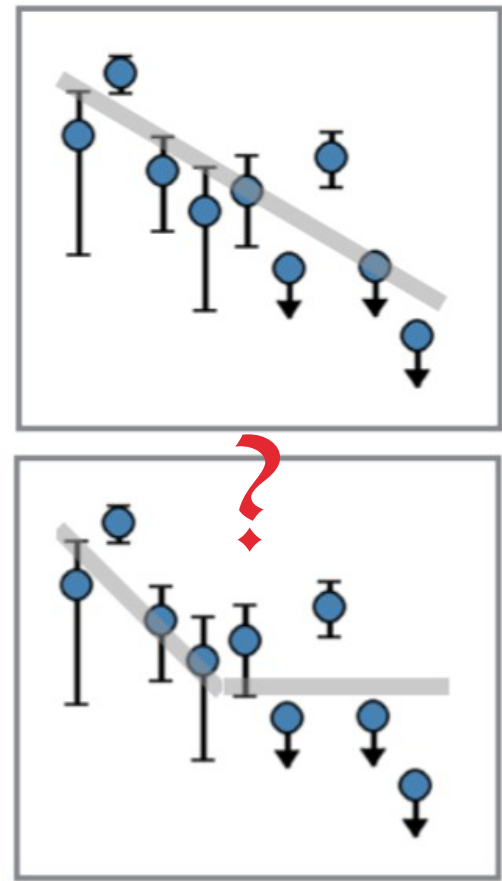
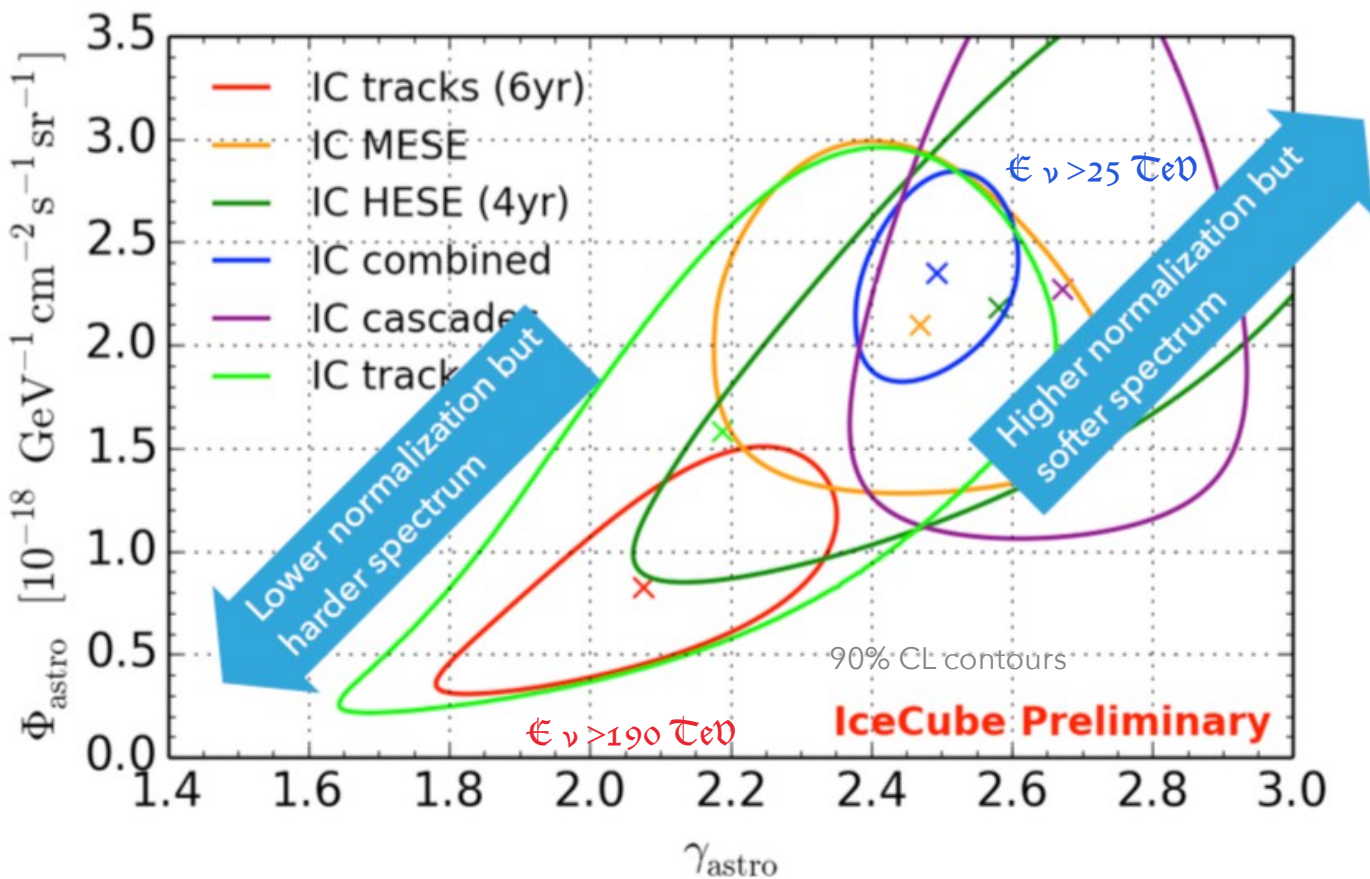
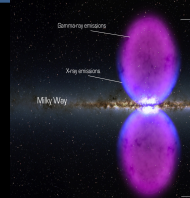
ICECUBE, *PRL* 111, 021103 (2013)

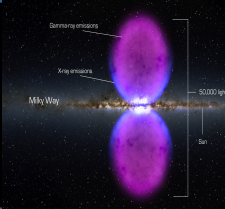
ICECUBE, *Science* 342, 1242856 (2013)

ICECUBE, *PRL* 113, 101101 (2014)



Probablement flux composite



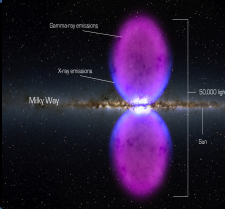


Source potentielles

- **Galactic:** (full or partial contribution)

- diffuse Galactic γ -ray emission [MA & Murase'13; Joshi J C, Winter W and Gupta'13]
[Kachelriess and Ostapchenko'14; Neronov, Semikoz & Tchernin'13]
[Neronov & Semikoz'14; Guo, Hu & Tian'14; Gaggero, Grasso, Marinelli, Urbano & Valli'15]
- unidentified Galactic γ -ray emission [Fox, Kashiyama & Meszaros'13]
[Gonzalez-Garcia, Halzen & Niro'14]
- supernova remnants [Mandelartz & Tjus'14]
- pulsars [Padovani & Resconi'14]
- microquasars [Anchordoqui, Goldberg, Paul, da Silva & Vlcek'14]
- Sagittarius A* [Bai, Barger, Barger, Lu, Peterson & Salvado'14; Fujita, Kimura & Murase'15]
- *Fermi Bubbles* [MA & Murase'13; Razzaque'13]
[Lunardini, Razzaque, Theodoseau & Yang'13; Lunardini, Razzaque & Yang'15]
- Galactic Halo [Taylor, Gabici & Aharonian'14]
- heavy dark matter decay [Feldstein, Kusenko, Matsumoto & Yanagida'13]
[Esmaili & Serpico '13; Bai, Lu & Salvado'13; Cherry, Friedland & Shoemaker'14]

from M. Ahlers

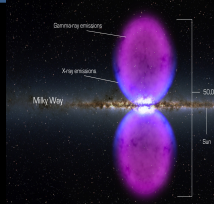


Sources potentielles - suite

- **Extragalactic:**

- association with sources of UHE CRs [Kistler, Stanev & Yuksel'13]
[Katz, Waxman, Thompson & Loeb'13; Fang, Fujii, Linden & Olinto'14]
- association with diffuse γ -ray background [Murase, MA & Lacki'13]
[Chang & Wang'14; Ando, Tamborra & Zandanel'15]
- active galactic nuclei (AGN) [Stecker'13; Kalashev, Kusenko & Essey'13]
[Murase, Inoue & Dermer'14; Kimura, Murase & Toma'14; Kalashev, Semikoz & Tkachev'14]
[Padovani & Resconi'14; Petropoulou, Dimitrakoudis, Padovani, Mastichiadis & Resconi'15]
- gamma-ray bursts (GRB) [Murase & Ioka'13; Dado & Dar'14; Tamborra & Ando'15]
- galaxies with intense star-formation [He, Wang, Fan, Liu & Wei'13; Yoast-Hull, Gallagher, Zweibel & Everett'13]
[Murase, MA & Lacki'13; Anchordoqui, Paul, da Silva, Torres & Vlcek'14]
[Tamborra, Ando & Murase'14; Chang & Wang'14; Liu, Wang, Inoue, Crocker & Aharonian'14]
[Senno, Meszaros, Murase, Baerwald & Rees'15; Chakraborty & Izaguirre'15]
- galaxy clusters/groups [Murase, MA & Lacki'13; Zandanel, Tamborra, Gabici & Ando'14]
- ...

from M. Ahlers



Spectre neutrino astrophysiques

Galactique

Extra galactique

Source astrophysique

Soleil

Supernova (exp.

acc.)

+ Gal CR diff.

Binaires

AGN/GRB

UHECR diff

Energie
0.1-10 MeV

Tev-PeV

>PeV

Processus de production

desint. beta

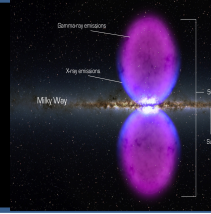
capture elec.

Interactions hadroniques

(+top-down ?)

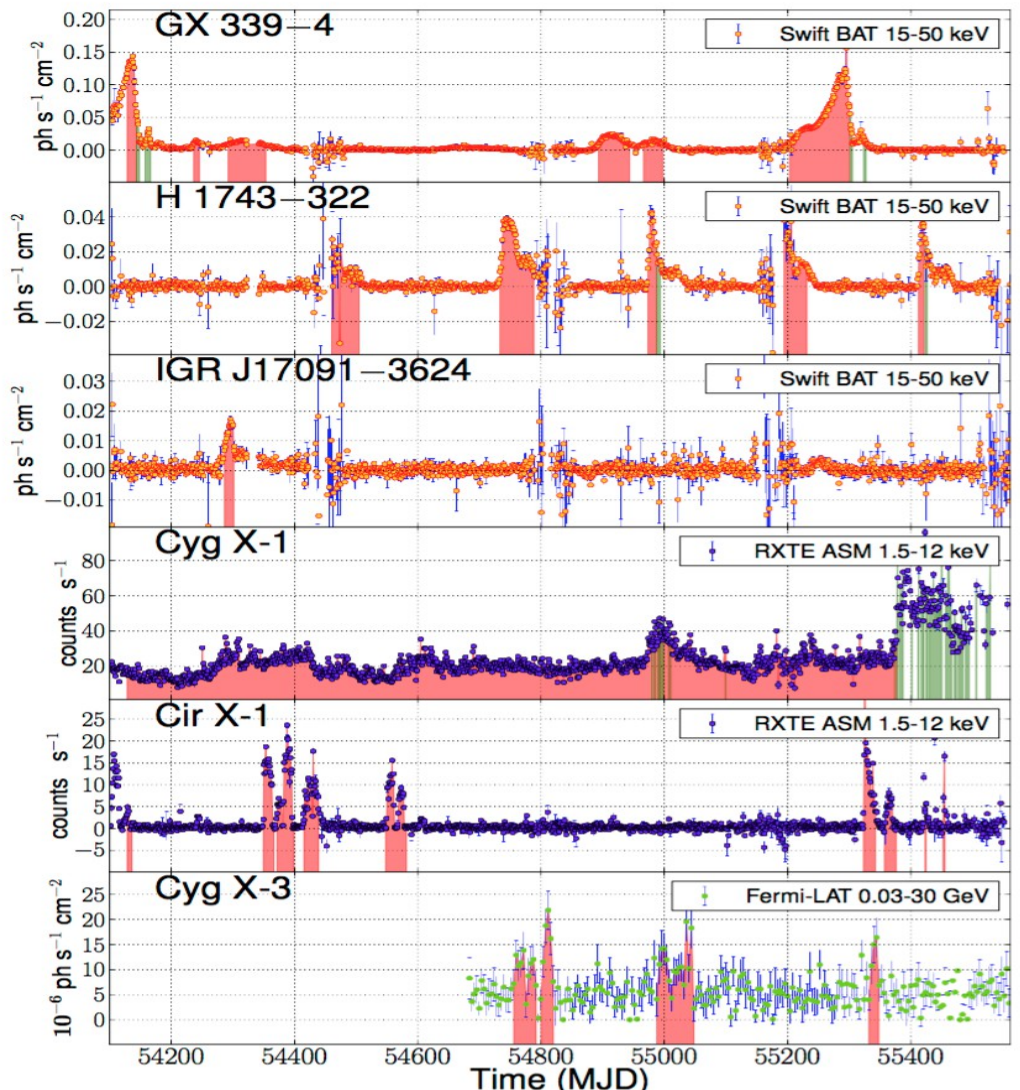


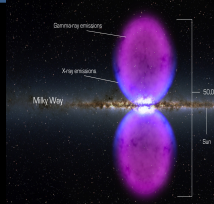
Binaires -X



ex : Cir X-1, GX 339-4, H1743-322, IGR J17091-3624, CygX-1 and CygX-3

pp pendant les éruptions (jet)





Spectre neutrino astrophysiques

Galactique

Extra galactique

Source astrophysique

Soleil

Supernova (exp.

acc.)

+ Gal CR diff.

Binaires

AGN/GRB

UHECR diff

Energie
0.1-10 MeV

Tev-PeV

>PeV

Processus de production

desint. beta

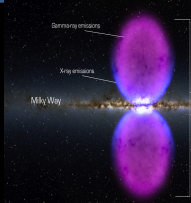
capture elec.

Interactions hadroniques

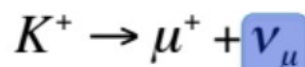
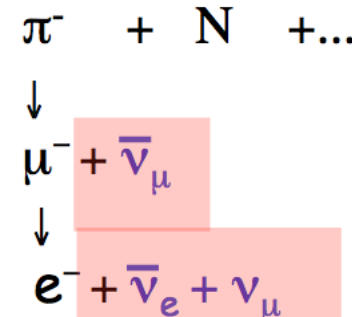
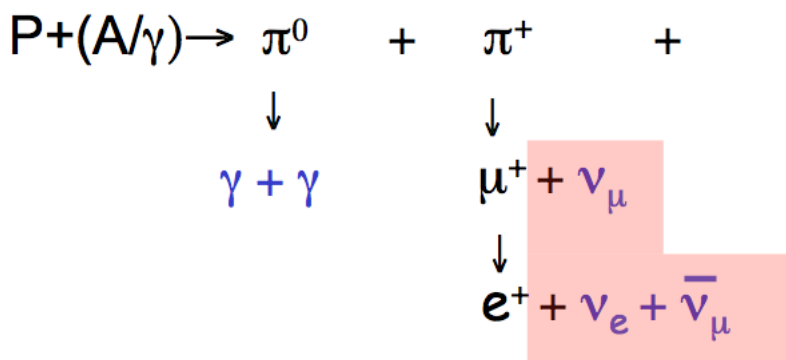
(+top-down ?)



Lepto /hadro



Hadronic interaction in relativistic jets:

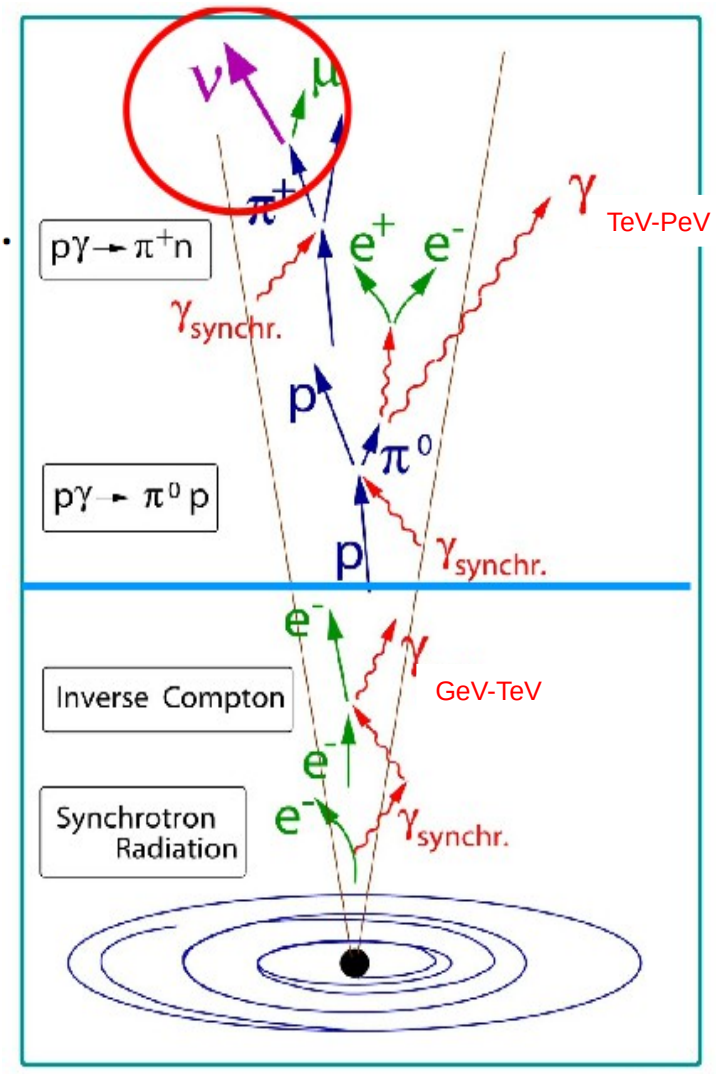


Production de γ H.E.:

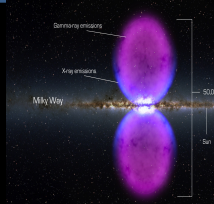
Hadronique \rightarrow neutrinos
leptonique (S.I.C.) \rightarrow neutrinos

$$E_\nu \simeq 0.05 E_p$$

$$\nu_e : \nu_\mu : \nu_\tau = 1:2:0 \text{ source} \Rightarrow \nu_e : \nu_\mu : \nu_\tau = 1:1:1 \text{ Terre}$$



C.Springer



Spectre neutrino astrophysiques

Galactique

Extra galactique

Source astrophysique

+ Gal CR diff.

Soleil

Supernova (exp.

acc.)

Binaires

AGN/GRB

UHECR diff

Energie
0.1-10 MeV

Tev-PeV

>PeV

Processus de production

desint. beta

capture elec.

Interactions hadroniques

(+top-down ?)



AGN example

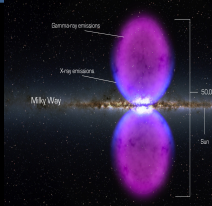
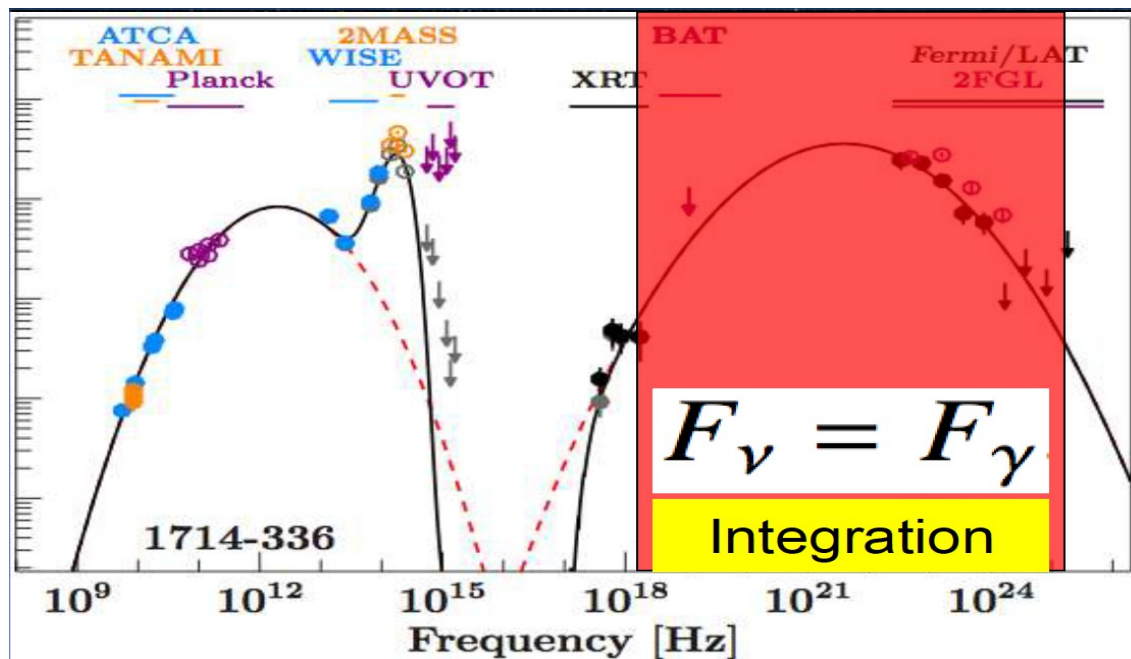


Photo-pion production on UV hump -> PeV peaked neutrinos

Krauß et al. 2014, A&A 566, L7

Flavor
Blazar class
Spectrum

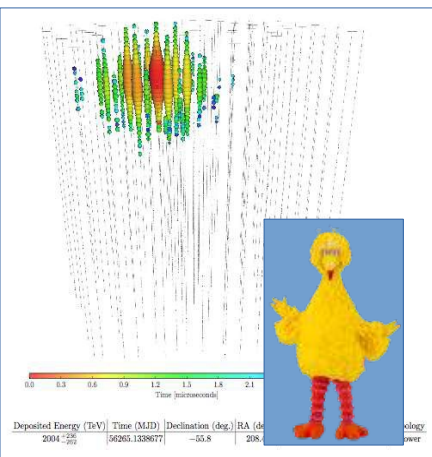
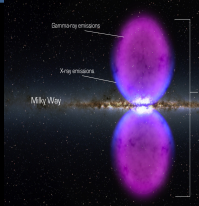


$$N_{\nu, \text{obs,PeV}} = f \cdot N_{\nu, \text{max,PeV}}$$

$$N_{\nu, \text{PeV}}^{\text{max}}(\Omega) = A_{\text{eff}, \nu_e} \cdot \left(\frac{F_\gamma}{E_\nu} \right) \cdot \Delta t$$

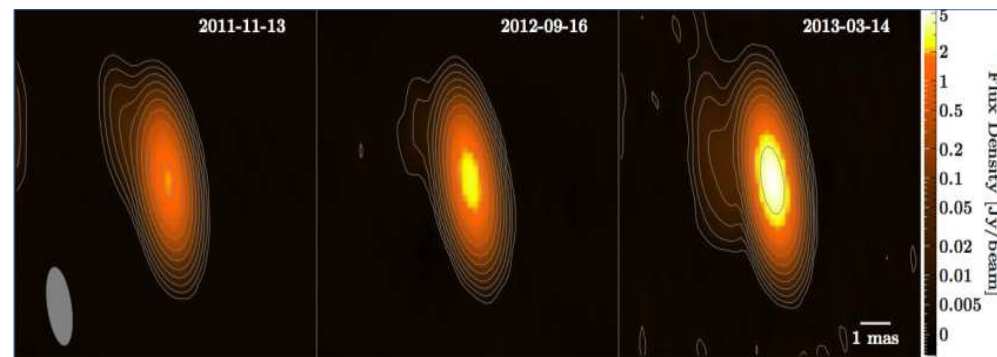


Big Bird ?



Compatible with 17 Blazars but one dominating the calorimetric output:
PKS B1424-418

BigBird during outburst

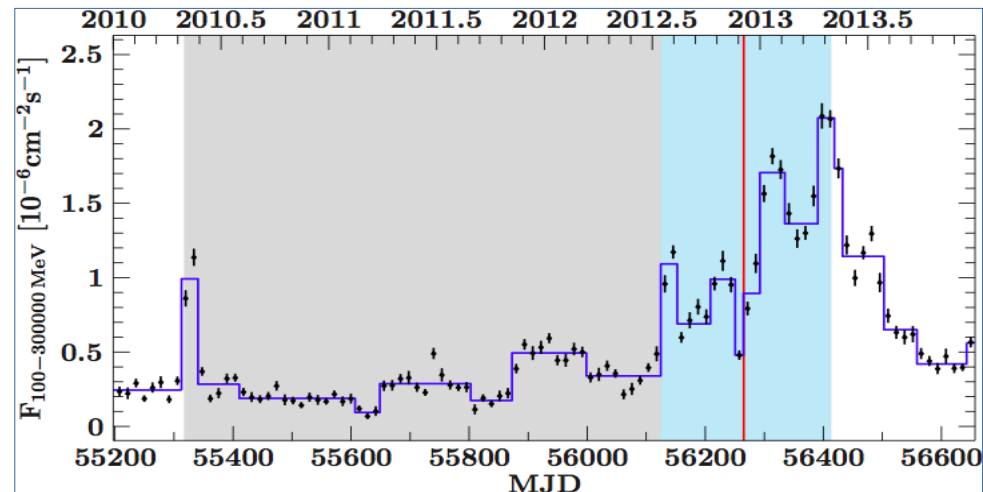


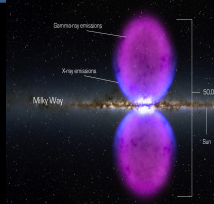
$$N_{\nu, \text{max,PeV}}(\text{PKS B1424} - 418) = 5.8$$
$$N_{\nu, \text{Exp,PeV}}(\text{PKS B1424} - 418) = 0.16$$

ANTARES Flux limit:
 $4.2 \times 10^{-8} \text{ GeV cm}^{-2} \text{s}^{-1}$

Chance proba: 5% (a posteriori)

Conclusion:
« Compatible » as source
Flat or Peaked spectrum





Spectre neutrino astrophysiques

Galactique

Extra galactique

Source astrophysique

Soleil

Supernova (exp.

acc.)

+ Gal CR diff.

Binaires

AGN/GRB

UHECR diff

Energie
0.1-10 MeV

Tev-PeV

>PeV

Processus de production

desint. beta

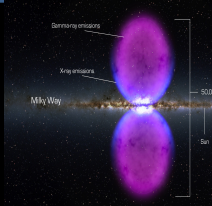
capture elec.

Interactions hadroniques

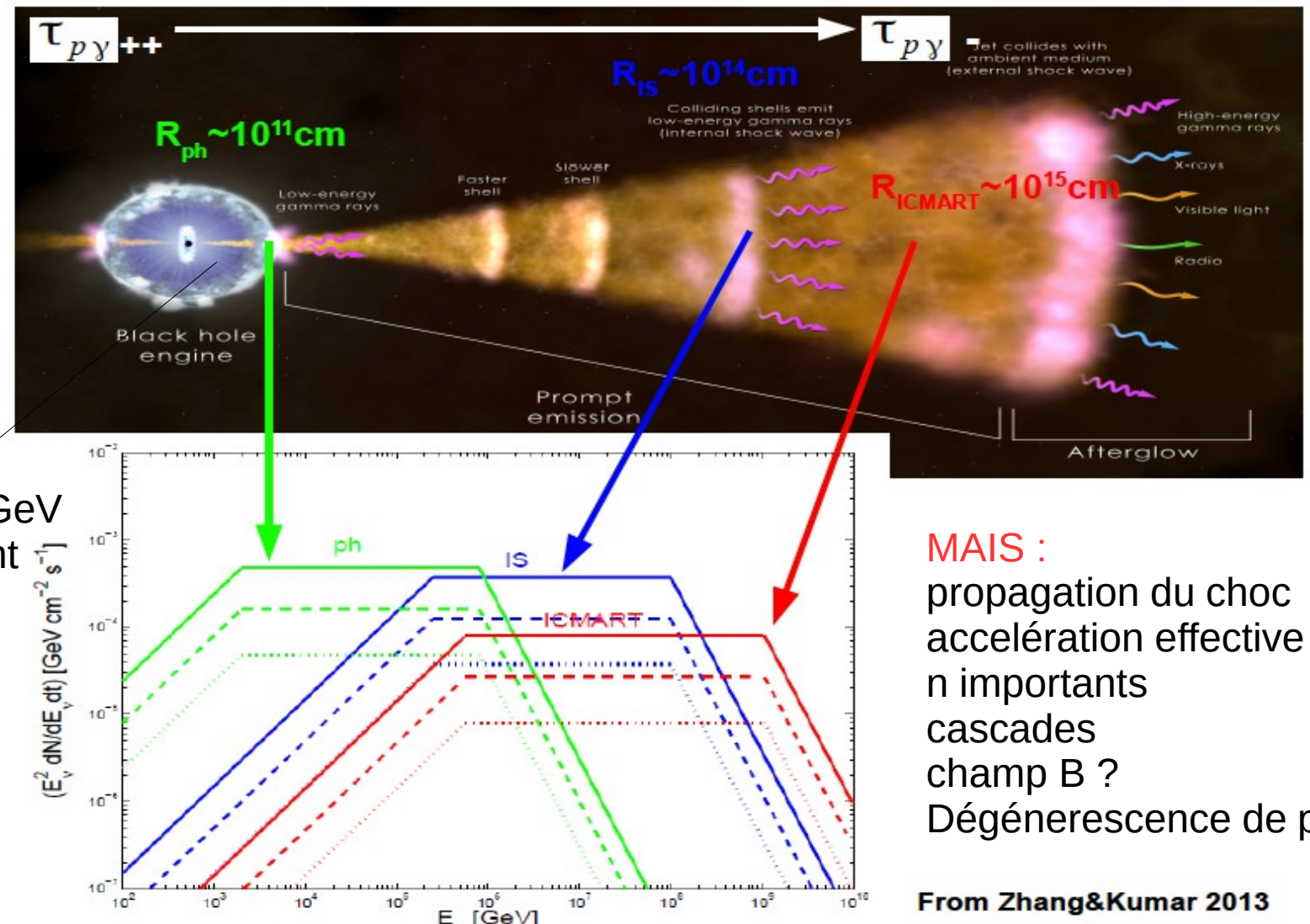
(+top-down ?)



GRBs

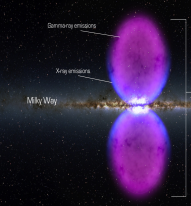


Contraindre la charge baryonique ?





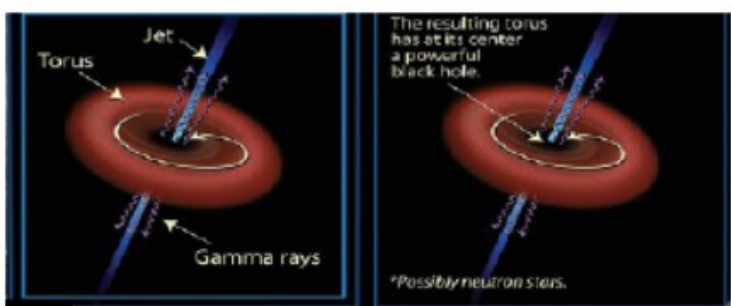
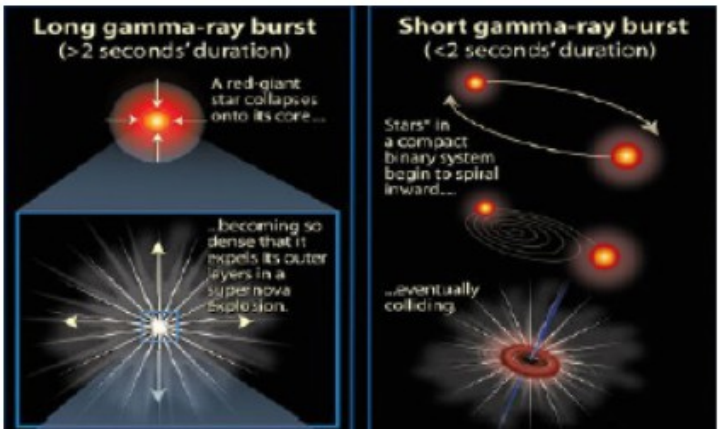
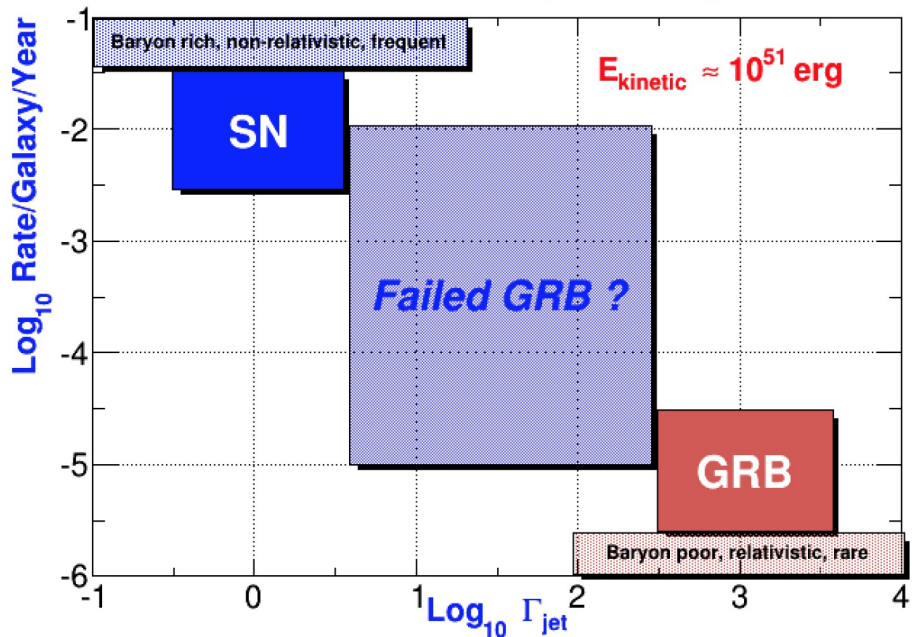
Neutrinos & GW

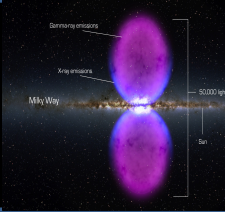


Asymmetrical collapse → GW
Baryon loaded jets -> HEN

- Dark electromagnetic sources

From SN to GRBs (Ando, 2009)





En somme

- Basse énergies (10 MeV):

Supernovae locale

→ attendre la prochaine

| Modélisation ~maîtrisée

- Hautes énergies (TeV-Pev):

Partout ou des p sont accélérés

- dans de la matière (binaires, TDE, Novae, SN, pevatrons)

Galactique

- sur le rayonnement (AGN, GRB), extragal.

→ rester le plus modèle indépendant possible

diffus vu → viser tout ce qui bouge (le plus court le mieux)

→ Raffiner les modèles !

Modelisation
complexe
très incertaine